



بررسی تاثیر ضخامت و تخلخل الکترودها بر روی عملکرد ابرخازن الکتروشیمیایی

علی قربانی کشکولی^۱، قاسم اکبری^{۲*}

۱- مری، مهندسی مکانیک، دانشگاه آزاد اسلامی واحد قزوین، قزوین

۲- استادیار، مهندسی مکانیک، دانشگاه آزاد اسلامی واحد قزوین، قزوین

* قزوین، صندوق پستی ۳۴۱۸۵-۱۴۱۶، g.akbari@qiau.ac.ir

چکیده

ابرخازن‌های الکتروشیمیایی انرژی را در میدان الکتریکی تشکیل شده در دو لایه الکتروشیمیایی در میان الکترود-الکتروولیت ذخیره می‌کنند. استفاده از الکترودهای با سطح تماس بالا در ابرخازن، منجر به افزایش بسیار زیاد طرفیت ذخیره انرژی آنها در مقایسه با خازن معمولی می‌شود. مطالعه حاضر یک مدل ریاضی به منظور بررسی اثر ضخامت و تخلخل الکترودها بر روی عملکرد ابرخازن دولایه ارائه می‌نماید. این مدل برپایه معادلات بقای اجزا برای گونه‌های محلول و بقای بار الکتریکی در الکتروشیمی ابرخازن می‌باشد و فرضیات معمول مانند غلظت یکنواخت در طول سلول و طرفیت مخصوص مستقل از ولتاژ در مدل حاضر در نظر گرفته نشده است. مدل حاضر قادر به پیش‌بینی با دقت مناسبی ولتاژ دشارژ ابرخازن در مقایسه با داده‌های آزمایشگاهی می‌باشد و قابلیت به کارگیری در بررسی اثر پارامترهای ساختاری بر روی عملکرد ابرخازن را دارد. نتایج به دست آمده برای شرایط کارکرد در نظر گرفته شده در مطالعه حاضر نشان می‌دهد که استفاده از الکترود با ضخامت بیشتر در محدوده ۴۵ تا ۷۰ میکرومتر، باعث افزایش طرفیت مخصوص ابرخازن می‌شود، در صورتی که افزایش ضخامت الکترود بیش از ۷۰ میکرومتر، موجب کاهش طرفیت مخصوص می‌گردد. استفاده از الکترودهای با تخلخل بیشتر نیز موجب افزایش طرفیت مخصوص ابرخازن می‌شود، به صورتی که اگر تخلخل الکترود دو برابر شود، طرفیت مخصوص تقریباً ۵ درصد افزایش می‌یابد.

اطلاعات مقاله

مقاله پژوهشی کامل

دریافت: ۲۲ خرداد ۱۳۹۵

پذیرش: ۰۴ شهریور ۱۳۹۵

ارائه در سایت: ۰۱ ابان ۱۳۹۵

کلید واژگان:

مدل سازی ابرخازن دولایه

طرفیت مخصوص

انرژی مخصوص

توان مخصوص

تخلخل

Effect of electrode thickness and porosity on the performance of double-layer supercapacitor

Ali Ghorbani Kashkooli, Ghasem Akbari*

Mechanical Engineering Department, Qazvin Branch Islamic Azad University, Qazvin, Iran
* P.O.B. 34185-1416, Qazvin, Iran, g.akbari@qiau.ac.ir

ARTICLE INFORMATION

Original Research Paper

Received 11 June 2016

Accepted 25 August 2016

Available Online 22 October 2016

Keywords:

Double-layer supercapacitor modeling
specific capacitance
specific energy
specific power
porosity

ABSTRACT

Electrochemical supercapacitors store energy in the electric field formed at the interface of electrode/electrolyte in the electrochemical double layer. Compared to conventional capacitors, using high surface area electrodes results in the extremely large capacitance in supercapacitors. A mathematical model has been developed to investigate the effect of electrode thickness and porosity on the performance of double-layer supercapacitor. The model is based on the conservation of species and charge governing equations. This model drops the common simplifying assumptions of concentrations uniformity and capacitance independence of voltage in supercapacitors models. The model can predict the experimental data of cell voltage with high accuracy and is used to examine the effect of utilizing different electrode thicknesses and porosities on the performance. In the design and operation condition of supercapacitor considered here, specific capacitance increases as electrode thickness increases for electrode thicknesses from 70 to 90 micrometer and decreases as electrode thickness exceeds 90 micrometer. Employing more porous electrodes enhances specific capacitance. The amount of increment is such that if the electrode porosity is doubled, specific capacitance increases by approximately 5%.

۱- مقدمه

در سیستم‌های شروع-پایان^۲ سریع، سیستم‌های تو ان پشتیبان در کامپیوترها و باز کردن سریع دربهای خروج اضطراری در هوایپامها اشاره نمود. اما مهمترین کاربرد ابرخازن‌ها در حال حاضر در خودروهای هیبریدی بوده که تو ان لازم برای شتاب گرفتن سریع خودرو و امکان بازیابی انرژی را از سیستم‌های بازیاب ترمز خودرو فراهم می‌نماید [۳].

وجود خاصیت‌هایی مانند فراهم نمودن تو ان بالا و همچنین طول عمر زیاد ابرخازن‌های دولایه^۱ (به دلیل ذات برگشت‌پذیر مکانیزم ذخیره انرژی در آنها) باعث شده است که این تکنولوژی در پژوهش‌های اخیر مورد توجه خاصی قرار گیرد [۲,۱]. از جمله کاربرد ابرخازن‌ها می‌توان به تأمین تو ان لازم

² Start-Stop

^۱ Double-layer Supercapacitors

آن‌ها برای اولین بار فرض غلظت غیریکنواخت در طول سلول در نظر گرفته شده است و در نتیجه معادلات دیفرانسیل مشتقات جزئی حاکم به معادلات دیفرانسیل معمولی قابل کاهش نبوده و حل آن‌ها نیازمند روش‌های عددی می‌باشد. نتایج بدست آمده توسط این محققین نشان می‌دهد که تاثیر غلظت متغیر بر صحت پروفیل ولتاژ سلول برای الکتروودها حاوی هیدروس اکسیدر و نیوم (RuO₂ x H₂O) تا 25 درصد می‌باشد. این مدل همچنین برای مقایسه عملکرد خازن‌هایی با الکتروود ساخته شده از کربن‌های فعال و تاثیر تغییر مقدار کربن موجود بر روی عملکرد خازن‌های الکتروشیمیایی نیز مورد استفاده قرار گرفته است. ماداباتولا و گوپتا [19] مدل ابرخازن خود را بر اساس معادلات انتقال کاتیون‌ها و آئیون‌ها و براساس غلظت متغیر یون‌ها و الکتروولیت بیان نمودند. نتایج آن‌ها با عملکرد ابرخازن آزمایشگاهی طی فرایند دشارژ و استراحت سلول انتطاق کامل را نشان می‌دهد. به علاوه، آن‌ها با استفاده از مدل خود ضرورت استفاده از مدل دو بعدی را مورد تحقیق قرار داده‌اند. نتایج بدست آمده نشان می‌دهد که برای خازن الکتروشیمیایی، ضرورتی برای به کارگیری مدل دو بعدی وجود ندارد و استفاده از مدل یک بعدی جهت پیش‌بینی عملکرد سلول کافی است.

در مطالعه حاضر، فیزیک حاکم بر الکتروشیمی ابرخازن (با غلظت متغیر در طول سلول) براساس معادلات انتقال جرم و پایستاری بر الکتریکی برای ابرخازن الکتریکی دولایه ارائه شده‌اند. مدل پیشنهاد شده امکان مطالعه ولتاژ سلول، غلظت الکتروولیت و اضمحلال خازن الکتروشیمیایی را در طول فرایند دشارژ (برای دانسیته‌های مختلف جریان) فراهم می‌نماید. به علاوه، با به کارگیری این مدل، ولتاژ سلول و انرژی و توان مخصوص با دقت بالایی در مقایسه با نتایج آزمایشگاهی پیش‌بینی می‌شوند. جهت حل معادلات حاکم از نرمافزار کامسول مالتی فیزیک⁶ و برایش 5 استفاده شده است. تاثیر پارامترهای ساختاری مختلف همچون ضخامت و تخلخل الکتروود بر روی عملکرد ابرخازن مورد بررسی قرار گرفته است که نتایج حاصل شده می‌تواند در طراحی بهینه ابرخازن برای کاربردهای عملی مورد استفاده قرار گیرد.

2- معادلات حاکم جهت شبیه‌سازی ابرخازن دولایه

معادلات ریاضی مورد استفاده برای شبیه‌سازی ابرخازن الکتریکی دو لایه در ادامه مورد بررسی قرار گرفته‌اند. برای این منظور، معادلات انتقال جرم و پایستاری بر الکتریکی برای هر یک از اجزای تشکیل دهنده سلول ابرخازن بیان می‌شوند. این اجزا در "شکل 1" نشان داده شده‌اند و عبارتند از دو

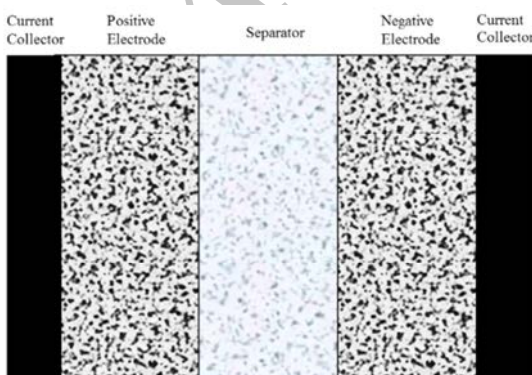


Fig. 1 Different parts of a supercapacitor; white and black spots in the electrode represent pores and activated carbon, respectively

شکل 1 اجزای مختلف یک ابرخازن؛ نقاط سفید و سیاه در الکتروودها به ترتیب حفره‌ها و کربن فعال شده را نشان می‌دهند.

⁶Comsol Multiphysics®

به منظور شبیه‌سازی عملکرد ابرخازن‌ها، مدل ریاضی مناسبی نیاز است که بتواند خصوصیات الکتروشیمیایی آن‌ها را طی شارژ/دشارژ توصیف نماید. بسیاری از مدل‌هایی که به منظور توصیف عملکرد ابرخازن‌ها پیشنهاد شده‌اند، مدل مدار معادل الکتریکی می‌باشند [5,4]. اجزای مدار الکتریکی معادل (مقاومت‌ها و خازن‌ها) معمولاً از طریق برازش داده‌های آزمایشگاهی تعیین می‌شوند [4]. اگرچه انرژی و توان مخصوص ابرخازن‌ها توسط این مدل‌ها به درستی پیش‌بینی می‌شوند، اما آن‌ها عموماً توانایی ارتباط دادن ویژگی‌های مدار معادل به خواص فیزیکی خازن الکتروشیمیایی را ندارند. دسته دیگری از مدل‌ها با وارد نمودن ساختار غیرهمگن الکتروودها در مدل‌سازی خازن الکتروشیمیایی، به حل معادله اصلاح شده پواسن-بولتزمن¹ برای پتانسیل الکتریکی در الکتروولیت می‌بردازند [7,6]. در این مدل‌ها فرض می‌شود که پتانسیل الکتریکی و غلظت یون‌ها به وضعیت تعادل رسیده است و حالت پایدار در ابرخازن بقرار است [9,8]. با استفاده از این دسته از مدل‌ها، امکان بررسی تاثیر ساختارهای بسیار ریز الکتروود نظیر شکل و ساختار هندسی² حفره‌ها بر روی سطح ذخیره بار الکتریکی و ظرفیت الکتروودها به وجود می‌آید [10]. اگرچه این دسته از مدل‌ها قابلیت پیش‌بینی صحیح ظرفیت خازن را دارند، اما همانند مدار معادل، نمی‌توانند فرآیندهای الکتروشیمیایی انتقال جرم و تشکیل اضمحلال خازن دولایه (که در طول زمان شارژ/دشارژ در الکتروودهای ابرخازن اتفاق می‌افتد) را شبیه‌سازی کنند. بدین منظور، دسته سوم از مدل‌ها که بر اساس معادلات انتقال جرم و پایستاری بر الکتریکی می‌باشند، مورد استفاده قرار می‌گیرند [11,12]. این مدل‌ها قابلیت شبیه‌سازی پدیده‌های انتقال نظری نفوذ³ و مهاجرت⁴ یون‌ها در محیط متخلخل و ذخیره بار الکتریکی در دو لایه الکتریکی در مرز الکتروود/الکتروولیت را دارند [13]. به علاوه، این مدل‌ها قادر به پیش‌بینی عملکرد ابرخازن‌ها بر اساس انرژی مخصوص و توان مخصوص هستند و برای کنکاش در خصوص استفاده از پارامترهای ساختاری مختلف بر روی عملکرد ابرخازن‌ها، مناسب می‌باشند [14].

اولین مدل برای جذب یون‌های موجود در الکتروولیت به سمت محیط متخلخل الکتروود توسط جانسون و نیومن ارائه شد [15]. با فرض غلظت یکنواخت در طول سلول و صرفنظر از وابستگی ظرفیت خازن به پتانسیل الکتریکی، دان و نیومن [16] یک جواب تحلیلی برای آن معادلات در طول زمان شارژ خازن الکتروشیمیایی استخراج کردند. به علاوه، آن‌ها بیشینه انرژی مخصوص موجود در ابرخازن را با بهینه نمودن ضخامت الکتروود، تخلخل⁵ و ولتاژ نهایی برای دشارژ (در حالت جریان ثابت و توان ثابت) ارائه نمودند. اسپرینیوسان و ویدنر [17] نیز با بدست آوردن حل تحلیلی معادلات دیفرانسیل حاکم، در مورد اهمیت مقاومت الکتریکی و یونی در طراحی ابرخازن مطالعه نمودند. نتایج آن‌ها نشان می‌دهد که با تغییر پارامترهای ساختاری طراحی نظری ضخامت الکتروودها، رابطه معکوسی میان دانسیته انرژی و دانسیته توان وجود دارد که با زیاد شدن یکی از آن‌ها، دیگری کاهش می‌یابد. حل تحلیلی این محققین همچنین برای مطالعه تاثیر پارامترهای ساختاری بر حرارت تولید شده در ابرخازن در چرخه شارژ و دشارژ مورد استفاده قرار گرفته است. لین و همکاران [18] تاثیر ترکیب مواد الکتروود و ساختار حفره‌ها را بر عملکرد ابرخازن‌ها مورد بررسی قرار داده‌اند. در مدل

¹ modified Poissain-Boltzman

² morphology

³ diffusion

⁴ migration

⁵ porosity

$$\begin{aligned} D_{\text{eff}} &= D_0 \varepsilon^{1.5} && \text{(در الکتروود)} \\ D_{\text{sep}} &= D_0 \varepsilon_{\text{sep}}^{1.5} && \text{(در جداکننده)} \end{aligned} \quad (8)$$

2- قانون بقای بار الکتریکی

دانسیته جریان در الکتروولیت نامتنازن را می‌توان با استفاده از ثئوری محلول‌های غلیظ به صورت زیر بیان نمود (قانون اهم برای محلول) [19,16]:

$$i_2 = -k \frac{\partial \phi_2}{\partial x} - v_+ z_+ F \epsilon (D_+ - D_-) \frac{\partial c}{\partial x} \quad (9)$$

هدایت‌پذیری الکتروولیت در حجم محلول با استفاده از ضرایب پخش گونه‌ها قابل محاسبه است [20]:

$$K_0 = \frac{F^2 c (z_+^2 v_+ D_{+0} + z_-^2 v_- D_{-0})}{RT} \quad (10)$$

که این کمیت در محیط‌های متخلخل نیز توسط روابط زیر محاسبه می‌شود:

$$\begin{aligned} \kappa_{\text{eff}} &= K_0 \varepsilon^{1.5} && \text{(در الکتروود)} \\ \kappa_{\text{sep}} &= K_0 \varepsilon_{\text{sep}}^{1.5} && \text{(در جداکننده)} \end{aligned} \quad (11)$$

قانون اهم در محیط جامد را نیز می‌توان به صورت زیر بیان نمود:

$$i_1 = -\sigma \frac{\partial \phi_1}{\partial x} \quad (12)$$

که هدایت‌پذیری الکتروود جامد می‌باشد.

در الکتروشیمی فرض بر این است که بار الکتریکی کلی محلول در هر نقطه خنثی است. با استفاده از این فرضیه، قانون بقای جرم به صورت زیر بیان می‌شود [16, 19, 22]:

$$\frac{\partial i_1}{\partial x} + \frac{\partial i_2}{\partial x} = 0 \quad (13)$$

که در الکتروودهای متخلخل رابطه زیر برقرار است:

$$\frac{\partial i_2}{\partial x} = S_d C_d \frac{\partial (\phi_1 - \phi_2)}{\partial t} \quad (14)$$

سمت راست معادله بالا نشان‌دهنده میزان بار الکتریکی ذخیره شده در خازن دولایه با ظرفیت C_d و سطح تبادل بار مرزی S_d می‌باشد.

2- شرایط مرزی و اولیه

با حل چهار معادله بقای جرم (معادله 4)، قانون اهم در محلول (معادله 9)، قانون اهم در الکتروود جامد (معادله 12) و قانون پایستاری بار الکتریکی (معادله 14) می‌توان چهار مجھول موجود در این معادلات، یعنی غلظت الکتروولیت^۱، پتانسیل الکتریکی در محیط جامد^۲ ϕ_1 ، پتانسیل الکتریکی در محلول^۳ ϕ_2 و دانسیته جریان در محلول^۴ v را محاسبه نمود. این معادلات برای قسمت‌های مختلف یک ابرخازن شامل الکتروودهای مثبت و منفی و جداکننده در جدول 1 خلاصه شده‌اند. همچنین، شرایط مرزی و اولیه لازم برای حل معادلات جدول 1، در جدول 2 ارائه شده‌اند.

لازم به ذکر است شرایط مرزی بین نواحی برای غلظت الکتروولیت و پتانسیل الکتریکی در الکتروولیت به صورت پیوسته در نظر گرفته می‌شود، که

با توجه به عدم تغییر ناگهانی آن‌ها در مرز، فرض مناسی است:

$$\left. \frac{\partial c}{\partial x} \right|_{x=l_{\text{pos}}^-} = \left. \frac{\partial c}{\partial x} \right|_{x=l_{\text{pos}}^+}, \quad \left. \varepsilon \frac{\partial \phi_2}{\partial x} \right|_{x=l_{\text{pos}}^-} = \left. \frac{\partial \phi_2}{\partial x} \right|_{x=l_{\text{pos}}^+} \quad (15)$$

شرط مرزی برای پتانسیل الکتریکی در فاز جامد بصورت:

$$\left. \frac{\partial \phi_1}{\partial x} \right|_{x=l_{\text{pos}}} = 0 \quad (16)$$

در نظر گرفته شده است، زیرا در مرز بین الکتروود و جداکننده، دانسیته

جریان کاملاً از طریق حرکت یون‌ها تأمین می‌شود، که در این شرایط $I_2 = 0$ است. با توجه به برقراری رابطه زیر، شرط مرزی (16) برای فاز جامد بدست

الکتروود متخلخل از جنس کربن فعال شده و یک جداکننده^۵ که یون‌ها را از خود عبور می‌دهد، ولی اجازه عبور الکترون را نمی‌دهد. الکتروولیت‌ها با توجه به تعداد یون‌هایی که در نتیجه تجزیه آنها در حال ایجاد می‌شوند، به دو دسته متقاضی^۶ و نامتقاضی^۷ تقسیم می‌شوند. الکتروولیت‌هایی با تعداد برابر کاتیون و آنیون، الکتروولیت متقاضی نامیده می‌شوند. در مدل‌سازی مطالعه حاضر فرض شده است که الکتروولیت محلول غلیظ نامتنازن از اسید سولفوریک بوده که در آب به دو پروتون H^+ و یک یون منفی سولفات SO_4^{2-} تجزیه می‌شود [19]. از مقاومت الکتریکی جمع‌کننده جریان^۸ نیز به دلیل ضریب هدایت الکتریکی بالای آن صرف‌نظر شده است.

2-1- قانون بقای اجزا

معادله بقای اجزا برای گونه j (بار مثبت یا منفی - کاتیون یا آنیون) حل شده در یک محلول به صورت زیر بیان می‌شود [20]:

$$\frac{\partial (\epsilon c_j)}{\partial t} = -\frac{\partial (N''_{x,j})}{\partial x} + R_j \quad (1)$$

که $N''_{x,j}$ فلاکس انتقال جرم گونه j شامل نفوذ، جابجایی و مهاجرت بوده و R_j نیز جمله مربوط به خازن دولایه می‌باشد، با صرف‌نظر از انتقال جرم جابجایی، فلاکس مربوط به گونه j عبارت است از:

$$N''_{x,j} = -D_{\text{eff}} \frac{\partial c_j}{\partial x} + \frac{t_j^0}{z_j F} i_2 \quad (2) \quad (\text{برای بار مثبت یا منفی})$$

$$N''_{x,0} = -D_{\text{eff}} \frac{\partial c_0}{\partial x} \quad (3) \quad (\text{برای حلال})$$

با استفاده از روابط بین غلظت الکتروولیت، یون‌ها و حلال $(c = \frac{c_+}{v_+} = \frac{c_-}{v_-})$ ، معادله بقای جرم بصورت زیر قابل بیان است:

$$\varepsilon \frac{\partial c}{\partial t} - \frac{\partial}{\partial x} \left(D_{\text{eff}} \frac{\partial c}{\partial x} \right) = - \left(\frac{t_j^0}{v_j z_j F} \right) \frac{\partial i_2}{\partial x} \quad (4)$$

که ضریب تجزیه گونه j بوده و v_j نیز تعداد بار یون j می‌باشد. همان‌طور که اشاره شد، در مطالعه حاضر اسید سولفوریک بعنوان الکتروولیت نامتنازن در نظر گرفته شده است. الکتروولیت نامتنازن (یا الکتروولیت 1-2) هنگام تجزیه به دو کاتیون و یک آنیون تجزیه می‌شود ($v_+ = 2, v_- = 1$) [19]. در صورتی که الکتروولیت متقاضی (یا الکتروولیت 1-1) به یک کاتیون و یک آنیون تجزیه می‌گردد، ضریب پخش^۹ گونه‌های مختلف در محیط‌های متخلخل تابعی از تخلخل الکتروودها و جداکننده بوده و به صورت زیر بیان می‌شود [21, 20]:

$D_j = D_0 \varepsilon^{1.5}$ (برای بار مثبت یا منفی در الکتروود)

$D_j = D_0 \varepsilon_{\text{sep}}^{1.5}$ (برای بار مثبت یا منفی در جداکننده)

که زیرنویس 0 مربوط به ضریب پخش هر گونه در حلال فاقد تخلخل می‌باشد. ضریب انتقال کاتیون‌ها نیز از رابطه (6) به دست می‌آید:

$$t_+ = 1 - t_- = \frac{z_+ D_+}{z_+ D_+ - z_- D_-} \quad (6)$$

با استفاده از ثئوری محلول‌های غلیظ [19, 16]. ضریب پخش الکتروولیت

در حجم محلول عبارت است از:

$$D_0 = \frac{D_{+0} D_{-0} (z_+ - z_-)}{z_+ D_{+0} - z_- D_{-0}} \quad (7)$$

و در نتیجه ضریب پخش الکتروولیت در الکتروودها و جداکننده نیز از روابط زیر بدست می‌آید:

¹ separator

² symmetric

³ asymmetric

⁴ current collector

⁵ diffusivity

Table 2 Initial and boundary conditions for equations presented in table 1

	شرط اولیه	شرط مرزی	اجزای سلول	جدول 2 شرایط اولیه و مرزی مربوط به معادلات ارائه شده در جدول 1
$c _{t=0} = c_{\text{init}}$	$\frac{\partial c}{\partial x} _{x=0} = 0$			
$\phi_1 = 0.7$	$\frac{\partial \phi_2}{\partial x} _{x=l_{\text{pos}}} = 0$			
$\phi_2 = 0$	$\varepsilon \frac{\partial \phi_2}{\partial x} _{x=l_{\text{pos}}^-} = \frac{\partial \phi_2}{\partial x} _{x=l_{\text{pos}}^+}$		الکتروود مثبت	
	$\frac{\partial \phi_1}{\partial x} _{x=l_{\text{pos}}} = 0$			
	$\frac{\partial \phi_1}{\partial x} _{x=0} = -\frac{I}{\sigma}$			
$c _{t=0} = c_{\text{init}}$	$\varepsilon \frac{\partial c}{\partial x} _{x=l_{\text{pos}}+l_{\text{sep}}} = \varepsilon \frac{\partial c}{\partial x} _{x=l_{\text{pos}}+l_{\text{sep}}^+}$			
$\phi_2 = 0$	$\varepsilon \frac{\partial \phi_2}{\partial x} _{x=l_{\text{pos}}+l_{\text{sep}}} = \varepsilon \frac{\partial \phi_2}{\partial x} _{x=l_{\text{pos}}+l_{\text{sep}}^+}$		جداکننده	
$c _{t=0} = c_{\text{init}}$	$\frac{\partial c}{\partial x} _{x=l} = 0, \quad \phi_1 _{x=l} = 0$			
$\phi_1 = 0$	$\frac{\partial \phi_1}{\partial x} _{x=l_{\text{pos}}+l_{\text{sep}}} = 0$		الکتروود منفی	
$\phi_2 = 0$	$\frac{\partial \phi_1}{\partial x} _{x=l} = \frac{I}{\sigma}$			
	$\frac{\partial \phi_2}{\partial x} _{x=l} = 0$			

معرفی شده‌اند. در شبیه‌سازی انجام شده فرض شده است که سلول ابرخازن دولایه دارای ولتاژ اولیه 0.7 ولت است و سپس ابرخازن تا صفر ولت دشارژ می‌شود. به منظور تایید صحت مدل موجود و حل انجام شده، ولتاژ بدست آمده از حل عددی ابرخازن با نتایج آزمایشگاهی ارائه شده توسط یون و همکاران [24] مقایسه شده است و نتیجه این مقایسه در "شکل 2" قابل مشاهده می‌باشد. همان‌طور که مشخص است، در طول دشارژ ابرخازن، میانگین خطای نسبی بین بین ولتاژ محاسبه شده بر مبنای معادلات حاکم و داده‌های آزمایشگاهی برابر 2 درصد می‌باشد. پیشترین مقدار خطای نسبی در حدود 8 درصد به دست آمده است.

"شکل 3" پروفیل‌های مختلف دشارژ گالوانی سلول ابرخازن را برای دانسیته‌های مختلف جریان نشان می‌دهد. پروفیل ولتاژ یک ابرخازن دارای دو رفتار خازنی و اهمی می‌باشد. افت ناگهانی ولتاژ در ابتدای دشارژ ابرخازن نشان دهنده رفتار خازنی است که با افزایش دانسیته جریان دشارژ، تاثیر شدیدتری بر روی شبیه‌سازی حاضر از حلقه پارادیسو به دلیل سرعت بالاتر استفاده شده است. آستانه خطای نسبی،⁷ ۰.۱۰ و آستانه خطای مطلق،⁸ ۰.۸ در نظر گرفته شده است. اندازه سلول‌های محاسباتی ایجاد شده در نرم‌افزار کامسول براساس حالت بسیار ریز⁹ به تعداد 102 المان در یک بعد می‌باشد.

پارامترهای فیزیکی به کار رفته برای حل معادلات حاکم در جدول 3

Table 1 Governing equations for simulation of supercapacitor**جدول 1** معادلات حاکم برای شبیه‌سازی یک ابرخازن الکتروشیمیایی

معادلات حاکم	جزای سلول
$\varepsilon \frac{\partial c}{\partial t} - \frac{\partial}{\partial x} \left(\varepsilon D \frac{\partial c}{\partial x} \right) = - \left(\frac{t_+^0}{v_+ z_+ F} \right) \frac{\partial i_2}{\partial x}$	
$i_2 = -\kappa \frac{\partial \phi_2}{\partial x} - v_+ z_+ F \varepsilon (D_+ - D_-) \frac{\partial c}{\partial x}$	الکتروود مثبت
$i_2 - \sigma \frac{\partial \phi_1}{\partial x} - I = 0$	
$\frac{\partial i_2}{\partial x} = S_d C_d \frac{\partial (\phi_1 - \phi_2)}{\partial t}$	
$\varepsilon \frac{\partial c}{\partial t} - \frac{\partial}{\partial x} \left(\varepsilon D \frac{\partial c}{\partial x} \right) = 0$	
$i_2 = -\kappa \frac{\partial \phi_2}{\partial x} - v_+ z_+ F \varepsilon (D_+ - D_-) \frac{\partial c}{\partial x}$	جداکننده
$\phi_1 = 0$	
$i_2 = I$	
$\varepsilon \frac{\partial c}{\partial t} - \frac{\partial}{\partial x} \left(\varepsilon D \frac{\partial c}{\partial x} \right) = - \left(\frac{t_-^0}{v_- z_- F} \right) \frac{\partial i_2}{\partial x}$	
$i_2 = -\kappa \frac{\partial \phi_2}{\partial x} - v_+ z_+ F \varepsilon (D_+ - D_-) \frac{\partial c}{\partial x}$	الکتروود منفی
$i_2 - \sigma \frac{\partial \phi_1}{\partial x} - I = 0$	
$\frac{\partial i_2}{\partial x} = S_d C_d \frac{\partial (\phi_1 - \phi_2)}{\partial t}$	

می‌آید.

(17)

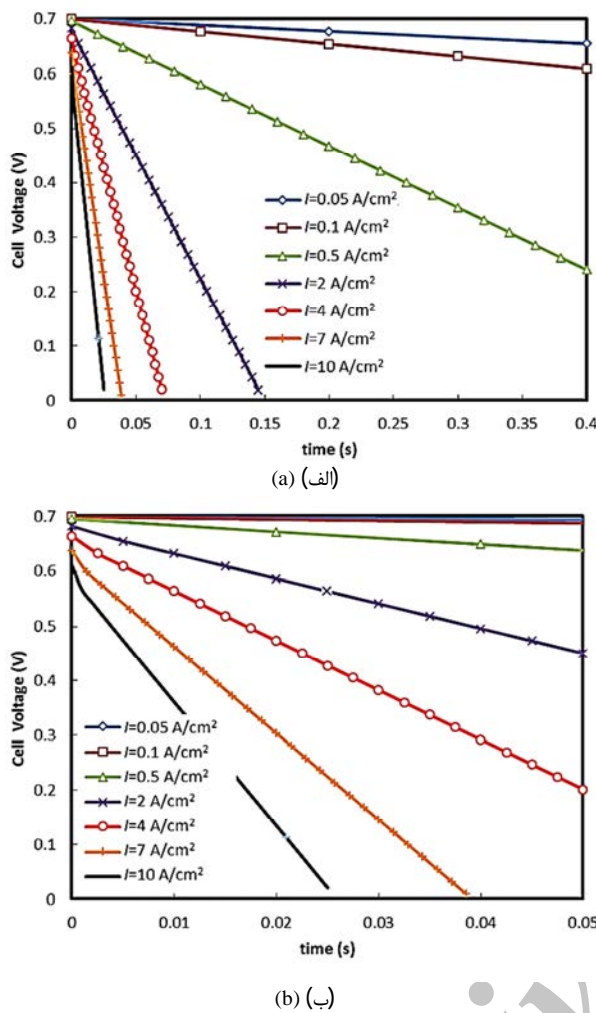
بحث بالا در مورد مرز بین الکتروود منفی و جداکننده نیز صدق می‌کند.

3- نتایج

معادلات حاکم بر مدل ارائه شده در جدول 1 با استفاده از مایوزل ریاضی¹ (برای حل معادلات دیفرانسیل مشتقات جزئی) در نرم‌افزار کامسول مالتی فیزیک² حل شده‌اند و از یک مدل یک بعدی بدین منظور استفاده شده است. کامسول یک نرم‌افزار شبیه‌سازی برای مسایل دارای چند فیزیک مختلف براساس روش المان محدود می‌باشد. کامسول دارای سه الگوریتم برای حل مسائل غیر دائم می‌باشد: پارادیسو³، مامپیس⁴ و اسپولز⁵. تمامی این حلگرها بر مبنای روش جداسازی بالامثلی، پایین مثلثی⁶ می‌باشند و به جواب یکسانی برای یک مسئله المان محدود خوش‌رفتار می‌رسند. لذا از نظر دقت حل برای چنین مسائلی، تفاوتی مابین آن‌ها وجود ندارد. تنها تفاوت بین حلگرهای ذکر شده مربوط به سرعت رسیدن به جواب نهایی می‌باشد، که پارادیسو سریع‌ترین و اسپولز کندترین می‌باشد. با توجه به محدودیت سرعت پردازش موجود، در شبیه‌سازی حاضر از حلگر پارادیسو به دلیل سرعت بالاتر استفاده شده است. آستانه خطای نسبی،⁷ ۰.۱۰ و آستانه خطای مطلق،⁸ ۰.۸ در نظر گرفته شده است. اندازه سلول‌های محاسباتی ایجاد شده در نرم‌افزار کامسول براساس حالت بسیار ریز⁹ به تعداد 102 المان در یک بعد می‌باشد.

پارامترهای فیزیکی به کار رفته برای حل معادلات حاکم در جدول 3

¹ PDE module² Comsol Multiphysics®³ Parallel Direct Sparse Solver Interface (PARDISO)⁴ Multifrontal Massively Parallel Sparse direct Solver (MUMPS)⁵ Sparse Object Oriented Linear Equations Solver (SPOOLES)⁶ LU decomposition⁷ Relative tolerance⁸ Absolute tolerance⁹ Extremely fine



شکل 3 منحنی دشارژ ابرخازن برای دانسیته‌های مختلف جریان در طول (الف) زمان دشارژ؛ (ب) 0.05 ثانیه اول زمان دشارژ

قطب مثبت بالاتر از این مقدار در قطب منفی می‌باشد. نکته دیگری که با توجه به بخش (الف) شکل 4 مشخص می‌شود، افزایش میانگین غلظت الکتروولیت در طول زمان دشارژ ابرخازن می‌باشد. دلیل این امر اضافه شدن یون‌های ذخیره شده در الکتروودهای شارژ شده اولیه در طول دشارژ به کل محلول است. در حالت اولیه، ابرخازن دارای شارژ اولیه 0.7 ولت است که این مقدار معادل بار الکتریکی ذخیره شده در دو لایه الکتریکی مجاور هر الکتروود می‌باشد (H^+ در الکتروود منفی و SO_4^{2-} در الکتروود مثبت). با شروع فرایند دشارژ، این بارهای الکتریکی از دو لایه مجاور هر الکتروود خارج شده وارد شارژ می‌شوند. اثر این فرایند، افزایش غلظت الکتروولیت با گذشت زمان می‌باشد. اگر بعد از رسیدن ولتاژ سلول به صفر ولت، ابرخازن در حالت استراحت رها شود، الکتروولیت در نتیجه نفوذ یون‌ها به حالت تعادل باز می‌گردد و غلظت میانگین حاصل برابر 2.278 مول بر لیتر خواهد بود (بخش (ب) از شکل 4).

غلظت الکتروولیت در زمان دشارژ کامل (ولتاژ صفر) در دانسیته‌های مختلف جریان در "شکل 5" نشان داده شده است. همانطور که مشخص است با افزایش دانسیته جریان، گرادیان غلظت الکتروولیت در طول سلول ابرخازن افزایش می‌یابد. بنابراین، فرض غلظت یکنواخت در دانسیته‌های

Table 3 List of parameters used in the model

جدول 3 فهرست پارامترهای به کار رفته در مدل

پارامتر	واحد	الکتروود منفی	جداکننده	الکتروود مثبت
ε	-	0.25 [14]	-	-
ε_{sep}	-	0.7 [23]	-	-
S_d	cm^2/cm^3	2.1×10^7 [24]	-	-
C_{dl}	F/cm^2	9.3×10^{-6} [24]	[مفروض]	[مفروض]
I	A/cm^2	0.05 [24]	-	-
L	μm	45 [24]	45 [24]	-
ρ_{etd}	g/cm^3	1.47 [24]	1.47 [24]	-
ρ_e	g/cm^3	1.19 [مفروض]	-	-
ρ_{PbSO_4}	g/cm^3	6.3	-	-
σ	S/cm	0.59 [24]	-	-
C_{init}	mol/m^3	2000 [24]	-	-
D_{+0}	cm^2/s	9.312×10^{-5} [20]	-	-
D_{-0}	cm^2/s	1.065×10^{-5} [20]	-	-
t_+^0	-	0.81 [محاسبه شده]	-	-
T	K	298.15 [19]	-	-

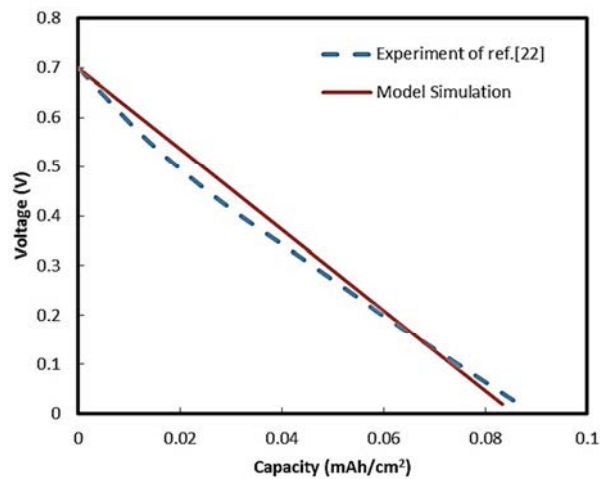


Fig 2 Comparison of the model simulation and experimental data during supercapacitor discharge at $I = 0.05 A/cm^2$

شکل 2 مقایسه پروفیل ولتاژ محاسبه شده از حل عددی معادلات حاکم با نتایج آزمایشگاهی در طول دشارژ ابرخازن در $I = 0.05 A/cm^2$

مریبوط به زمان دشارژ و بخش (ب) مریبوط به وضعیت استراحت بعد از دشارژ می‌باشد. مقدار حداکثر غلظت در الکتروود مثبت حداقل 10 درصد بیشتر از این مقدار در الکتروود منفی است. این اختلاف به دلیل بیشتر بودن ضریب پخش کاتیون هیدروژن مثبت ($D_{H^+} = 9.312 \times 10^{-5} cm^2/s$) در مقایسه با ضریب پخش آنیون سولفات ($D_{SO_4^{2-}} = 1.065 \times 10^{-5} cm^2/s$) در [20]. در هر نقطه از محلول، شرایط خنثی بودن بار الکتریکی برقرار می‌باشد. در هر نقطه از محلول، شرایط خنثی بودن بار الکتریکی برقرار است و برای برقراری این وضعیت لازم است کاتیون‌های H^+ آزاد شده در قطب منفی به سمت الکتروود مثبت و آنیون‌های SO_4^{2-} آزاد شده در قطب مثبت به سمت الکتروود منفی حرکت کنند. با توجه به ضرایب پخش ذکر شده، کاتیون هیدروژن مثبت در حال حرکت به سمت الکتروود مثبت نسبت به آنیون SO_4^{2-} آزاد شده در حال حرکت به سمت الکتروود منفی، سریع تر مهاجرت می‌کند. در نتیجه، مقدار بیشینه نمودار غلظت اسید سولفوریک در

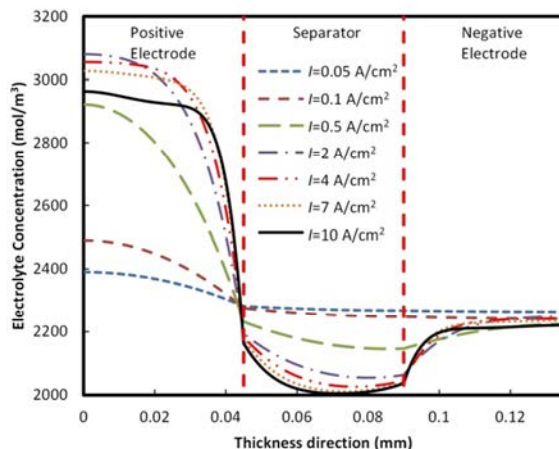


Fig. 5 تغییرات غلظت الکتروولیت در قسمت‌های مختلف ابرخازن در فرایند دشارژ کامل با نرخهای مختلف دشارژ

ضخیم‌تر با تخلخل یکسان می‌باشد. در نتیجه توانایی ذخیره بار الکتریکی در دو لایه مجاور الکترودها بالا می‌رود. به علاوه، بخش (الف) "شکل 6" نشان می‌دهد که با افزایش ضخامت الکترود در دانسیته‌های پایین جریان، میانگین ظرفیت مخصوص با شیب بیشتری افزایش می‌یابد. به عنوان مثال در شرایطی که دانسیته جریان برابر $I=0.5 \text{ A/cm}^2$ است، اگر ضخامت الکترود دو برابر دانسیته جریان باشد، ظرفیت مخصوص بر واحد سطح نیز شود (از 60 میکرومتر تا 120 میکرومتر)، ظرفیت مخصوص بر واحد سطح نیز دو برابر می‌شود. در حالی که در شرایط دانسیته $J=10 \text{ A/cm}^2$ دو برابر نمودن ضخامت الکترود باعث افزایش 50 درصدی ظرفیت مخصوص بر واحد سطح می‌شود.

بخش (ب) "شکل 6" نشان می‌دهد که افزایش ضخامت الکترود در شرایط دانسیته پایین جریان باعث افزایش ظرفیت مخصوص بر واحد جرم می‌شود. به عنوان مثال اگر ضخامت الکترود دو برابر شود (از 45 میکرومتر تا 90 میکرومتر)، ظرفیت مخصوص بر واحد جرم 18 درصد افزایش می‌یابد. در شرایط دانسیته بالای جریان، تغییرات ظرفیت مخصوص با ضخامت الکترود یکنوا نیست. بطوری که برای ضخامت‌های کمتر از 70 تا 90 میکرومتر، با افزایش ضخامت الکترود ظرفیت مخصوص واحد جرم افزایش می‌یابد، اما برای ضخامت‌های بالاتر از این محدوده، افزایش ظرفیت باعث کاهش ظرفیت مخصوص می‌شود. این تغییر رفتار و کاهش ظرفیت به واسطه دشارژ ناموثر و غیریکنواخت ابرخازن می‌باشد. البته دشارژ ناموثر در تمام مقادیر دانسیته جریان اتفاق می‌افتد، اما تاثیر شدیدتر آن در دانسیته‌های بالا باعث ایجاد رفتار معکوس میان ضخامت الکترود و ظرفیت ابرخازن می‌شود [17].

3-2-3- اثر تخلخل الکترود

"شکل 7" ظرفیت مخصوص ابرخازن را بر واحد سطح و جرم برای الکترودهایی با تخلخل متفاوت و در دانسیته‌های مختلف جریان نشان می‌دهد. سایر پارامترهای ساختاری همچون قبل ثابت نگه داشته شده‌اند. برای دشارژهای آهسته و یا دانسیته‌های جریان کمتر از $I=0.5 \text{ A/cm}^2$ ظرفیت مخصوص به صورت مستقل از دانسیته جریان رفتار می‌کند (منحنی‌های مربوط به این موارد بر منحنی‌های مربوط به $I=0.5 \text{ A/cm}^2$ منطبقند و در نتیجه در "شکل 7" نشان داده نشده‌اند). با توجه به بخش (الف) "شکل 7" مشخص است که با تغییر تخلخل در دانسیته ثابت جریان،

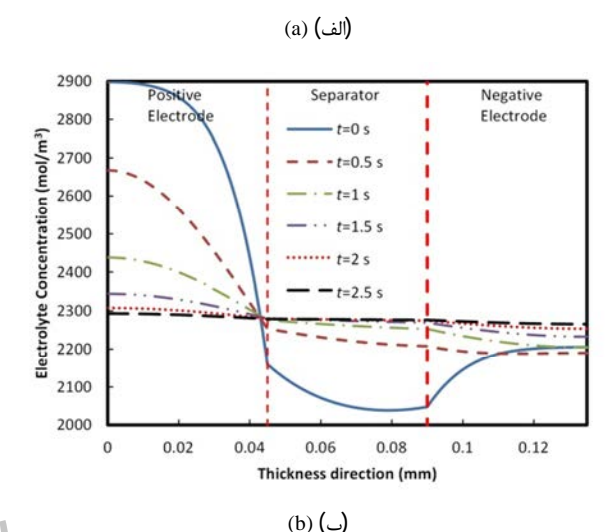
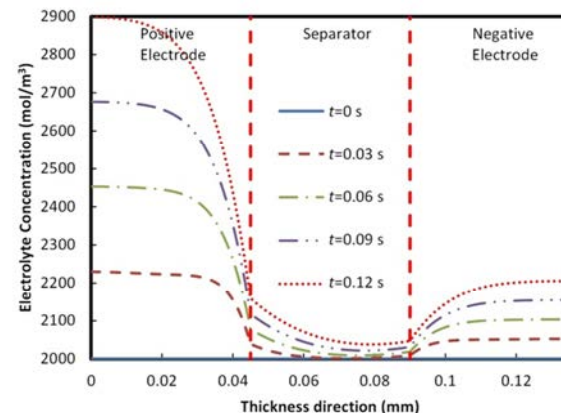


Fig. 4 غلظت الکتروولیت در قسمت‌های مختلف ابرخازن برای $I=2 \text{ A/cm}^2$ در (a) فرایند دشارژ؛ (b) در حالت استراحت بعد از دشارژ

بالای جریان می‌تواند باعث ایجاد خطای قابل ملاحظه‌ای در شبیه‌سازی شود و لازم است معادلات انتقال جرم (جدول 1) بدون لحاظ نمودن این فرض حل شوند. در شرایط دشارژهای طولانی‌تر، که با دانسیته‌های کمتر جریان متناظر هستند، فرض غلظت یکنواخت صحیح می‌باشد و می‌توان از حل‌های تحلیلی ارائه شده با دقت مناسبی استفاده نمود [14].

مدل ارائه شده برای ابرخازن قابلیت پیش‌بینی عملکرد سلول را برای دانسیته‌های مختلف ایجاد می‌کند. در بخش‌های بعدی از مدل ارائه شده به منظور تعیین اثر پارامترهای ساختاری مختلف بر روی عملکرد ابرخازن استفاده شده است. این پارامترها شامل ضخامت و تخلخل الکترودها می‌باشند. در تمام شبیه‌سازی‌های بعدی فرض شده است که ابرخازن از 0.7 ولت تا صفر ولت دشارژ شده است.

3-1-1- اثر ضخامت الکترود

"شکل 6" ظرفیت مخصوص را به ازای واحد سطح و نیز واحد جرم سلول ابرخازن برای ضخامت‌های مختلف الکترود و دانسیته‌های متفاوت جریان نشان می‌دهد. همان‌گونه که در بخش (الف) "شکل 7" نشان داده شده است، با افزایش ضخامت الکترود، ظرفیت مخصوص بر واحد سطح سلول افزایش می‌یابد. دلیل این موضوع، وجود الکتروولیت بیشتر در حفره‌های الکترودهای

می‌شود. اختلاف 0.43 مول بر لیتر موجود به دلیل بیشتر بودن یون‌های مثبت و منفی لازم در الکتروودهای دارای تخلخل 0.15 برای شروع فرایند دشارژ می‌باشد.

4- نتیجه‌گیری

در مطالعه حاضر، یک مدل ریاضی به منظور پیش‌بینی عملکرد ابرخازن‌ها معرفی گردید. در این مدل، فرض متدالو و ساده‌کننده یکنواختی غلظت الکتروولیت در طول سلول در نظر گرفته نشده و شبیه‌سازی انجام شده بر مبنای معادله انتقال جرم برای غلظت الکتروولیت می‌باشد. مقایسه منحنی ولتاژ سلول محاسبه شده در مقایسه با داده‌های تجربی بیان‌گر صحت شبیه‌سازی انجام شده است. به منظور بررسی عملکرد ابرخازن‌ها و تعیین شرایط بهینه آن، تأثیر پارامترهای مختلف ساختاری بر عملکرد سلول مورد مطالعه قرار گرفته است.

نتایج بدست آمده نشان می‌دهد که در شرایط دانسیته پایین جریان، استفاده از الکتروودهای ضخیم‌تر باعث افزایش ظرفیت مخصوص بر واحد جرم می‌شود، در حالی که در دانسیته‌های بالای جریان، یک رفتار دوگانه ایجاد

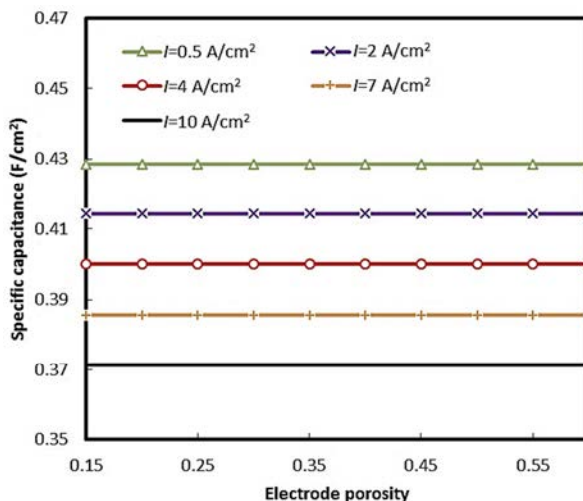


Fig. 7 Specific capacity per (a) unit area (b) per unit mass for different electrode porosities at various discharge rates

شکل 7 ظرفیت مخصوص به ازای (الف) واحد سطح (ب) واحد جرم سلول ابرخازن برای تخلخل‌های مختلف الکتروود و دانسیته‌های مختلف جریان

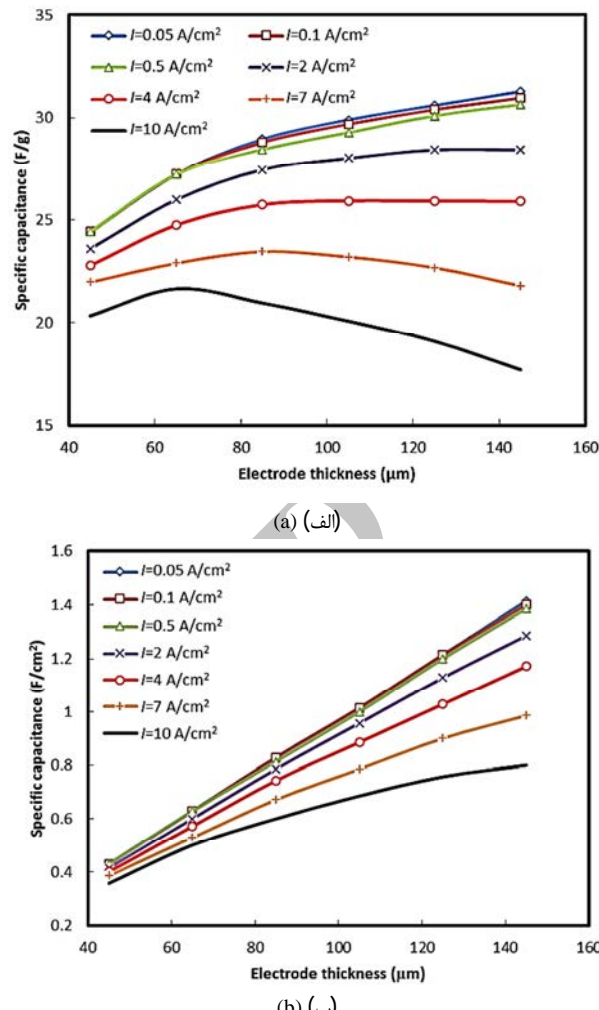


Fig. 6 Specific capacity per (a) unit area (b) per unit mass for different electrode thicknesses at various discharge rates

شکل 6 ظرفیت مخصوص به ازای (الف) واحد سطح (ب) واحد جرم سلول ابرخازن برای ضخامت‌های مختلف الکتروود و دانسیته‌های مختلف جریان

ظرفیت مخصوص بر واحد سطح تغییر نمی‌کند. در مقابل بخش (ب) شکل نشان می‌دهد که با افزایش تخلخل در دانسیته ثابت جریان، ظرفیت مخصوص بر واحد جرم افزایش می‌یابد. دلیل این موضوع را می‌توان افزایش حجم حفره‌های حاوی الکتروولیت و دانسیته کمتر الکتروولیت نسبت به کربن فاز جامد دانست که به تبع آن جرم سلول به ازای واحد سطح کاهش و ظرفیت مخصوص افزایش می‌یابد.

شکل 8 "تفییرات غلظت الکتروولیت را برای بخش‌های مختلف ابرخازن در لحظه دشارژ کامل نشان می‌دهد. منحنی‌های ارائه شده مربوط به دانسیته جریان $I=2 \text{ A/cm}^2$ و تخلخل‌های مختلف الکتروود می‌باشند. براساس نتایج بدست آمده، الکتروودهای با تخلخل کمتر دارای الکتروولیت غلیظتری در لحظه دشارژ کامل هستند. دلیل این امر این است که الکتروودهای دارای تخلخل کمتر، حفره‌های کمتری در سطح برای تشکیل دو لایه الکتریکی دارند، لذا به بار الکتریکی بیشتری برای تامین شرط اولیه ولتاژ شارژ 0.7 ولت نیاز دارند. در این شرایط، بار الکتریکی اضافی بیشتری در طول زمان دشارژ به حجم محلول اضافه شده و باعث افزایش میانگین غلظت در سلول می‌شود. اگر الکتروودها بعد از دشارژ به حالت استراحت رها شوند، مقدار غلظت میانگین آن‌ها برای تخلخل‌های 0.15 و 0.45 به ترتیب برابر 2.64 و 2.21 مول بر لیتر

هدایت پذیری الکتروولیت ($S\ m^{-1}$)	K
ضریب تجزیه	ν
($kg\ m^{-3}$)	ρ
هدایت پذیری الکتریکی ($S\ m^{-1}$)	σ
پتانسیل الکتریکی (V)	ϕ
اندیس پایین	
الکتروود مثبت	+
الکتروود منفی	-
بار صفر / حال	0
فاز جامد	1
فاز محلول	2
میانگین به ازای واحد سطح سلول	av
میانگین به ازای واحد جرم سلول	avg
الکتروولیت	e
موثر	eff
الکتروود	etd
بار الکتریکی مثبت یا منفی	i
اویله	init
مشخصه گونه در محلول	j
الکتروود منفی	neg
الکتروود مثبت	pos
منبا	ref
جداگانه	sep

6- تشرک و قدردانی

مقاله حاضر مستخرج از یک طرح پژوهشی در دانشگاه آزاد اسلامی، واحد قزوین می‌باشد، که بدین وسیله از مسئولین محترم آن دانشگاه به جهت حمایت از این طرح پژوهشی تشرک و قدردانی صورت می‌پذیرد.

7- مراجع

- B. E. Conway, W. G. Pell, Power limitations of supercapacitor operation associated with resistance and capacitance distribution in porous electrode devices, *Journal of Power Sources*, Vol. 105, No. 2, pp. 169-181, 2002.
- S. Yoon, J. H. Jang, B. H. Ka, S. M. Oh, Complex capacitance analysis on rate capability of electric-double layer capacitor (EDLC) electrodes of different thickness, *Electrochimica Acta*, Vol. 50, No. 11, pp. 2255-2262, 2005.
- M. Itagaki, S. Suzuki, I. Shitanda, K. Watanabe, H. Nakazawa, Impedance analysis on electric double layer capacitor with transmission line model, *Journal of Power Sources*, Vol. 164, No.1, pp. 415-424, 2007.
- S. Yoon, C. W. Lee, S. M. Oh, Characterization of equivalent series resistance of electric double-layer capacitor electrodes using transient analysis, *Journal of Power Sources*, Vol. 195, No. 13, pp. 4391-4399, 2010.
- M. Kaus, J. Kowa, D. U. Sauer, Modeling the effects of charge redistribution during self-discharge of supercapacitors, *Electrochimica Acta*, Vol. 55, No. 25, pp. 7516-7523, 2010.
- L. Yang, B. H. Fishbine, A. Migliori, L. R. Pratt, Molecular simulation of electric double-layer capacitors based on carbon nanotube forests, *Journal of the American Chemical Society*, Vol. 131, No. 34, pp. 12373-12376, 2009.
- M. Z. Bazant, M. S. Kilic, B. D. Storey, A. Ajdari, Towards an understanding of induced-charge electrokinetics at large applied voltages in concentrated solutions, *Advances in Colloid and Interface Science*, Vol. 152, No. 1, pp. 48-88, 2009.
- H. Wang, J. Varghese, L. Pilon, Simulation of electric double layer capacitors with mesoporous electrodes: Effects of morphology and

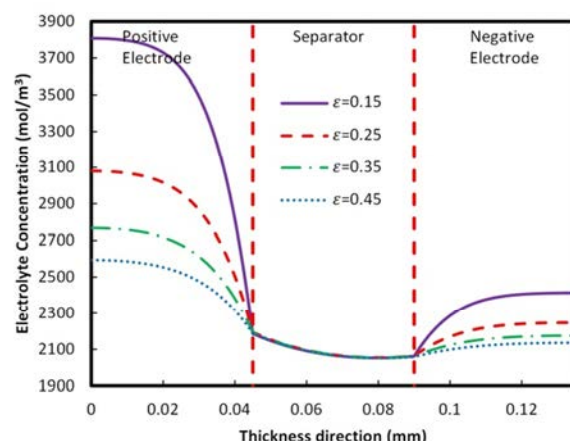


Fig. 8 Electrolyte concentration variations across the supercapacitor during discharge at various rates at the end of discharge

شکل 8 تغییرات غلظت الکتروولیت در قسمت‌های مختلف ابرخازن در زمان دشارژ
کامل به ازای مقادیر مختلف تخلخل

می‌شود. در این حالت چنانچه ضخامت الکتروود کمتر از 70 تا 90 میکرومتر باشد، استفاده از الکتروودهای ضخیم‌تر به افزایش ظرفیت منجر می‌شود، اما برای ضخامت‌های بیشتر از این محدوده، استفاده از الکتروودهای ضخیم‌تر باعث کاهش ظرفیت مخصوص می‌شود. از سوی دیگر به دلیل کمتر بودن مقدار جرم بر واحد سطح در الکتروود متخلخل تر، افزایش تخلخل منجر به افزایش ظرفیت مخصوص بر واحد جرم سلول می‌شود.

5- فهرست علائم

غلظت الکتروولیت ($mol\ m^{-3}$)	c
ظرفیت دولایه الکتریکی ($F\ m^{-2}$)	Cd
ضریب نفوذ ($m^2\ s^{-1}$)	D
انرژی مخصوص ($Wh\ kg^{-1}$)	E
ثابت فارادی ($C\ mol^{-1}$)	F
دانسیته جریان الکتریکی ($A\ m^{-2}$)	i
دانسیته جریان کل اعمال شده در سلول ($A\ m^{-2}$)	I
ضخامت (m)	l
جرم مولکولی ($g\ mol^{-1}$)	M
نرخ فلاکس مولی ($mol\ s^{-1}\ m^{-2}$)	\dot{N}_x''
توان مخصوص ($W\ kg^{-1}$)	P
جمله چشمی مربوط به خازن دو لایه ($mol\ s^{-1}\ m^{-3}$)	R
سطح مقطع بیشینه (cm^2/cm^3)	S_d
زمان (s)	t
دما (K)	T
ضریب انتقال کاتیون‌ها	t_+^0
مختصات مکانی در جهت طول سلول	x
تعداد بار الکتریکی	z
حروف یونانی	
تخلخل	ϵ

- Society*, Vol. 147, No. 3, pp. 820-830, 2000.
- [17] V. Srinivasan, J. W. Weidner, Mathematical modeling of electrochemical capacitors, *Journal of Electrochemical Society* Vol. 146, No. 5, pp. 1650-1658, 1999.
- [18] C. Lin, B. N. Popov, H. J. Ploehn, Modeling the effects of electrode composition and pore structure on the performance of electrochemical capacitors, *Journal of Electrochemical Society* Vol. 149, No. 2, pp. A167-A175, 2002.
- [19] G. Madabattula, S. K. Gupta, Modeling of supercapacitor, *Proceedings of the COMSOL Conference Bangalore*, India, 2012.
- [20] J. S. Newman, *Electrochemical Systems*, 3rd edition, Wiley Interscience, Hoboken, NJ, 2004.
- [21] H. Hassanzadeh, S. H. Golkar, M. Barzgary, Modeling of two phase and non-isothermal flow in polymer electrolyte fuel cell, *Modares Mechanical Engineering*, Vol. 15, No. 2, pp. 313-322, 2015. (in Persian فارسی).
- [22] A. B. Ansari, V. Esfahanian, F. Torabi, Electrochemical simulation of lead-acid battery using model order reduction based on proper orthogonal decomposition, *Modares Mechanical Engineering*, Vol. 15, No. 11, pp. 43-53, 2015. (in Persian فارسی).
- [23] P. Pillay and J. Newman, The influence of side reactions on the performance of electrochemical double-layer capacitors, *Journal of the Electrochemical Society*, Vol. 143, No. 6, pp. 1806-1814, 1996.
- [24] S. Yoon, J. Lee, T. Hyeon, S. M. Oh, Electric double-layer capacitor performance of a new mesoporous carbon, *Journal of Electrochemical Society*, Vol. 147, No. 7, pp. 2507-25012, 2000.
- electrolyte permittivity, *Electrochimica Acta*, Vol. 56, No. 17, pp. 6189-6197, 2011.
- [9] J. Varghese, H. Wang, L. Pilon, Simulating electric double layer capacitance of mesoporous electrodes with cylindrical pores, *Journal of Electrochemical Society*, Vol. 158, No. 10, pp. A1106-A1114, 2011.
- [10] H. Wang, A. Thiele, L. Pilon, Simulations of cyclic voltammetry for electric double layers in asymmetric electrolytes: A generalized modified poisson-stern-planck model, *The journal of physical chemistry*, Vol. 117, No. 36, pp. 18286-18297, 2013.
- [11] C. Lin, J. A. Ritter, B. N. Popov, R. E. White, A mathematical model of an electrochemical capacitor with double-layer and Faradaic processes, *Journal of the Electrochemical Society*, Vol. 146, No. 9, pp. 3168-3175, 1999.
- [12] H. Kim, B. N. Popov, A mathematical model of oxide, carbon composite electrode for supercapacitors, *Journal of the Electrochemical Society*, Vol. 150, No. 9, pp. A1153-A1160, 2003.
- [13] M. W. Verbrugge, P. Liu, Microstructural analysis and mathematical modeling of electric double-layer supercapacitors, *Journal of the Electrochemical Society*, Vol. 152, No. 5, pp. D79-D87, 2005.
- [14] K. Somasundaram, E. Birgersson, A. S. Mujumdar, Analysis of a model for an electrochemical capacitor, *Journal of Electrochemical Society*, Vol. 158, No. 11, pp. A1220-A1230, 2011.
- [15] A. M. Johnson, J. Newman, Desalting by means of porous carbon electrode, *Journal of Electrochemical Society*, Vol. 118, No. 3, pp. 510-517, 1971.
- [16] D. Dunn, J. Newman, Prediction of specific energies and specific power of double-layer capacitors using a simplified model, *Journal of Electrochemical Society*